



تأثیر پوشش نشاسته بر میزان زیست‌سازگاری نانوذرات مغناطیسی آهن بر رده سلولی MDA-MB-231

هانیه پورقاسم^{*}، محسن محمدی^۱ و رحیم جهاندیده^۲

۱- گروه زیست‌شناسی سلولی و مولکولی، دانشکده علوم پایه، واحد تکابن، دانشگاه آزاد اسلامی، تکابن، ایران

۲- گروه زیست‌شناسی بیوشیمی، دانشکده علوم پایه، واحد تکابن، دانشگاه آزاد اسلامی، تکابن، ایران

۳- گروه مهندسی پزشکی، دانشکده علوم پایه، واحد تکابن، دانشگاه آزاد اسلامی، تکابن، ایران

تاریخ ثبت اولیه: ۱۳۹۶/۰۵/۱۲، تاریخ دریافت نسخه اصلاح شده: ۱۳۹۶/۰۸/۲۰، تاریخ پذیرش قطعی: ۱۳۹۶/۰۹/۱۵

چکیده

هدف از این پژوهش، تهیه و بررسی اثرات ساینتوکسیک نانوذرات آهن زیست‌سازگار شده با نشاسته بر رده سلولی MDA-MB-231 می‌باشد. در این تحقیق، نانوذرات اکسید آهن با پوشش نشاسته به روش هم‌رسوبی تهیه گردید. جهت ارزیابی‌های سلولی، نانوذرات مغناطیسی پوشش‌دار و بدون پوشش با غلظت‌های ۳۰، ۴۰، ۵۰، ۶۰ و ۷۲ $\mu\text{g}/\text{ml}$ MDA-MB-231 در زمان‌های ۲۴، ۴۸ و ۷۲ ساعت تیمار گشت. در نهایت اثر زیستایی سلول با استفاده از آزمون MTT مورد ارزیابی قرار گرفت. نتایج طیف‌سننجی XRD وجود فاز مگنتیت به همراه مقادیر بسیار اندک از اکسیدهای دیگر آهن را نشان داد. بررسی‌های میکروسکوپی نشان دادند که ذرات دارای مورفولوژی کروی شکل، با اندازه تقریبی ۸۰-۱۰۰ nm می‌باشدند. همچنین نتایج آنالیز FT-IR وجود پوشش در سطح ذرات و یکنواختی آن را اثبات نمود. ارزیابی‌های سلولی نشان دادند که نانوذرات اکسید آهن قادر به خود پوشش در غلظت $30 \mu\text{g}/\text{ml}$ و نانوذرات اکسید آهن با پوشش نشاسته در غلظت $180 \mu\text{g}/\text{ml}$ در زمان ۲۴ ساعت باعث مرگ ۵۰ درصد از سلول‌های MDA-MB-231 شدند. نتایج این پژوهش می‌تواند گامی مهم در جهت بهبود درمان سرطان با نانوذرات مغناطیسی به روش هایپرترمیا باشد. پوشش زیست‌سازگار ایجاد شده باعث کاهش سمیت سلولی نانوذرات مغناطیسی می‌گردد که حتی آن را برای کاربردهای دیگری مانند افزایش دهنده وضوح تصویر در MRI مناسب می‌سازد.

واژه‌های کلیدی: سرطان سینه، سمیت موضعی، هم‌رسوبی، MTT، هایپرترمیا.

سرطان پستان با افزایش سن بالا می‌رود [۱]. علی‌رغم وجود روش‌های درمانی مختلف، هنوز هم جراحی به عنوان اولین روش درمانی برای سرطان سینه محسوب می‌شود. درمان‌های رایج ممکن است اندازه تومور را کاهش دهد، اما گذران بوده

سرطان پستان بیماری چند عاملی و پیچیده‌ای است که عوامل رژیکی و محیطی زیادی در آن دخالت دارد. شانس ابتلاء به

۱- مقدمه

* عهدهدار مکاتبات: هانیه پورقاسم

نشانی: مازندران، تکابن، دانشگاه آزاد اسلامی واحد تکابن، دانشکده علوم پایه، گروه زیست‌شناسی سلولی و مولکولی

تلفن: ۰۵۴۲۲۱۰۵-۰۱۱، دورنگار: ۰۵۴۲۷۱۱۰۵، پست الکترونیکی: haniyeh.porghasem@gmail.com

شده است [۷]. پوشش پلیمری موجب حفظ هسته و خواص مغناطیسی آن و عملگرای کردن نانوذرات می‌شود. به علاوه پوسته پلیمر باعث جلوگیری از تجمع نانوذرات، افزایش پایداری، کاهش سمیت و مدت زمان ماندگاری آنها می‌شود [۸].

نشاسته پلیمری با زنجیره بلند از مونومرهای D-گلوکز، غیرخطی و آبدوست است آمیلوز و آمیلوپکتین ترکیب اصلی نشاسته را تشکیل می‌دهند. زمانی که نشاسته در آب حل و حرارت داده می‌شود منجر به ژلاتینی شدن آن خواهد شد. از ویژگی‌های قابل توجه آن زیست‌سازگاری، زیست تجزیه‌پذیری، غیرسمی بودن و داشتن گروه عاملی OH^- است [۹].

نانوذرات مغناطیسی به صورت ذاتی آبدوست هستند و همین امر از پراکنده شدن آنها در آب جلوگیری می‌کند و باعث می‌شود آنها به دور هم جمع شده و آگلومره شوند. با قرار گرفتن نشاسته بر سطح نانوذرات مغناطیسی، نانوذرات در آب پراکنده می‌شوند. پوشش نشاسته از نانوذرات مغناطیسی در برابر اکسیداسیون محافظت به عمل می‌آورد و پایداری کلولئیدی آنها را تقویت می‌کند و همچنین از ذرات هنگامی که در معرض سیستم بیولوژیکی قرار می‌گیرند محافظت می‌کند. اصلاح سطوح نانوذرات مغناطیسی نه تنها از آگلومره شدن و اکسیداسیون آنها ممانعت می‌کند بلکه آنها را زیست‌سازگار نیز می‌کنند [۱۰].

جیان و همکاران در مورد موش بعد از مواجهه با نانوذرات ۲۰ و ۶۰ نانومتری، افزایشی در ترشح سیتوکین‌های التهابی گزارش کردند. این مشاهدات نشان می‌دهد که استفاده از انواع سلول‌ها برای بررسی سم‌شناسی اهمیت زیادی دارد، زیرا نتایج متعددی از رده‌های مختلف سلولی بدست می‌آید [۱۱].

در بررسی‌های راجو و همکاران، نمونه‌های دیگری نیز وجود دارد که نشان دهنده تفاوت در نتایج حاصل از سمیت این نوع از نانوذرات است. سمیت سلولی ناشی از نانوکره‌های مغناطیسی حاوی غلظت‌های مختلفی از آهن نیز در مطالعه

و بر بقای بیمار اثر مثبتی ندارند و احتمال عود بیماری نیز وجود دارد [۲]. یکی از روش‌های امیدبخش برای غلبه این مشکل، استفاده از نانوذرات خیلی ریز با سایز ۱ تا ۱۰۰ nm می‌باشد [۳].

نانوذرات آهن اکسید کاربرد زیست پزشکی گسترده‌ای نسبت به سایر نانوذرات مغناطیسی دارند. زیست‌سازگار بودن با شرایط محیط بدن، پایداری و تهیه آسان موجب توسعه استفاده آنها شده است. به عنوان مثال مگنتیت (Fe_3O_4) و ماگمیت (Fe_2O_3) از این گروه نانوذرات هستند که در بیشتر کاربردهای دارویی و پزشکی با انواع بسپارها پوشش داده می‌شوند [۴].

استفاده از نانوذراتی که دارای خاصیت مغناطیسی بوده مانند نانوذرات مغناطیسی اکسید آهن این امکان را فراهم می‌کند که حرکت آنها را در خون توسط میدان مغناطیسی خارجی کنترل نمود که فقط ذرات به بافت هدف هدایت شوند. علاوه بر این اثبات شده است که نانوذرات سوپر پارامغناطیس بسته به فرکانس و دامنه میدان مغناطیسی متناسب اعمالی قادرند گرما تولید کنند. به این صورت که سوسپانسیون نانوذرهای سوپر پارامغناطیس اکسید آهن، انرژی یک میدان مغناطیسی نوسانی را جذب کرده و گرما تولید می‌کنند که از این ویژگی می‌توان برای کاربرد در داخل بدن استفاده کرد و دمای بافت تومور را افزایش داده تا سلول‌های سرطانی بیمار به این طریق تخریب شوند، زیرا سلول‌های تومور نسبت به سلول‌های سالم به افزایش دما حساس‌تر هستند [۵].

با توجه به مطالعات انجام شده روی نانوذرات اکسید آهن بدون پوشش، مشخص شده است که بسیاری از این نانوذرات اثرات سمی زیادی در سیستم‌های بیولوژیک اعمال می‌کنند. بنابراین برای کاهش سمیت، افزایش خواص زیست‌سازگاری و امکان کاربرد این نانوذرات در درمان هدف‌گیری شده از پوشش‌های مناسب بر سطح آنها استفاده می‌شود [۶]. در سال‌های اخیر، انواع پلیمرها به عنوان ماتریکس‌های سبک جهت پوشش و اصلاح سطح نانوذرات مغناطیسی بررسی

مذکور در دمای 85°C با هم زدن ثابت جهت حل شدن نشاسته گرما داده شد. سپس $\text{FeS}_4 \cdot 7\text{H}_2\text{O}$ و $\text{FeCl}_3 \cdot 6\text{H}_2\text{O}$ با نسبت مولی ۱:۲ به محلول افزوده شد. محلول آمونیاک قطره قطره به سوپانسیون اضافه شد. مخلوط به مدت ۲ ساعت نگه داشته شد سپس نانوذرات مگنتیت پوشش داده شده با نشاسته چند مرتبه با بافر شسته شدند و توسط آهنربای مغناطیسی جدا سازی و در دستگاه فریز درایر (مدل GAMMA 1-16 LSC) به مدت ۲۴ ساعت خشک شدند.

۲-۲- کشت سلول

رده سلولی MDA-MB-231 از بانک سلولی انتیتو پاستور ایران خریداری شد (NCBI C578). این سلول در محیط کشت DMEM: (Dulbecco's Modified Eagle medium) غنی شده با سرم جنین گاوی٪ ۱۰ (FBS: Fetal Bovin Serum) و پنی سیلین (100 IU/ml) در انکوباتور کشت سلول NUVE مدل EC160 در دمای 37°C و $5\% \text{CO}_2$ رطوبت ٪ ۹۵، کشت و نگهداری شد.

۲-۳- بررسی اثر نانوذرات مغناطیسی اکسید آهن بدون پوشش و با پوشش نشاسته بر رشد و زیستایی رده سلولی MDA-MB-231 به روش آزمون نمک ترازو لیوم MTT

جهت بررسی اثرات نانوذرات مغناطیسی اکسید آهن بر میزان سمتی و مرگ سلولی، آزمون سمتی سلولی MTT (3-[4,5-Dimethylthiazol-2-Yl]-2,5-Diphenyl TB) کار گرفته شد که بر پایه شکسته شدن نمک ترازو لیوم (Tetrazolium) زرد به فورمازان (Formazan) کریستالی ارغوانی رنگ به واسطه فعالیت میتوکندریایی سلول های زنده فعال از نظر متابولیکی می باشد. کریستال های فورمازان تشکیل شده قابل حل بوده و جذب محلول رنگی می تواند به طور کمی توسط دستگاه الایزاریدر بررسی گردد.

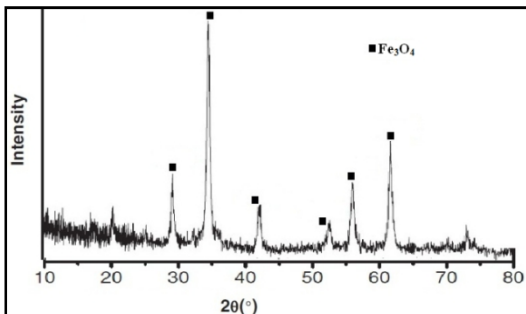
دیگری بررسی شده است. با افزایش غلظت نانوذرات آهن، تعداد سلول مرده افزایش یافته است [۱۲]. در این تحقیق نانوذرات مغناطیسی آهن سنتز شده و جهت کاهش سمیت سلولی و بهبود خواص سطحی، با موادی مثل نشاسته پوشش داده خواهند شد. لازم به ذکر است که این بررسی ها روی رده سلولی MDA-MB-231 خواهد بود. سلول MDA-MB-231 به عنوان یک رده سلولی مهم در سرطان سینه کاربرد دارد. با اثرات نانوذرات بر این رده سلولی و نتایج حاصل از آن می توان در مطالعات درمان سرطان پستان استفاده نمود و از پتانسیل دارویی این ترکیبات استفاده کرد. هدف از این مطالعه، زیست سازگار کردن نانوذرات مغناطیسی آهن توسط یوپلیمر نشاسته و بررسی مشخصات و تاثیرات پوشش ایجاد شده بدون کاهش میزان تاثیربخشی مغناطیسی بر قدرت بقا رده سلولی سرطانی سینه MDA-MB-231 می باشد.

۲- فعالیت های تجربی

۲-۱- سنتز نانوذرات مغناطیسی اکسید آهن

به منظور تهیه نانوذرات مغناطیسی بدون پوشش ۵/۴ g $\text{FeSO}_4 \cdot 7\text{H}_2\text{O}$ با ۲/۷۸ g $\text{FeCl}_3 \cdot 6\text{H}_2\text{O}$ در ۵۰ میلی لیتر آب دیونیزه مخلوط شد و تحت هم زدن شدید به مدت ۳۰ دقیقه توسط گاز نیتروژن، اکسیژن زدایی شد سپس محلول آمونیاک به صورت قطره قطره و آهسته به محلول نمک های آهن اضافه گردید. پس از افزودن محلول آمونیاک، حدود ۲۰ دقیقه اجازه داده شد تا واکنش پیش رود. در نهایت رسوب سیاه رنگی حاصل شد که نشان دهنده تشکیل نانوذرات مگنتیت است. رسوبات پس از چندین بار شستشو با بافر توسط آهنربای جداسازی و در دستگاه فریز درایر (GAMMA 1-16 LSC) تحت خلاً به مدت ۲۴ ساعت خشک شدند.

به منظور تهیه نانوذرات Fe_3O_4 حاوی پوشش نشاسته، مقدار ۱/۲ g از نشاسته به ۲۰۰ ml آب دیونیزه اضافه شد. مخلوط



شکل ۱: منحنی XRD ذرات Fe_3O_4 سنتز شده بدون پوشش.

۲-۳- طیف‌سنگی مادون قمز-تبدیل فوریه

تغییرات ساختاری نانوذرات تهیه شده بدون پوشش و با پوشش نشاسته، در محدوده $4000-500 \text{ cm}^{-1}$ با استفاده از آنالیز (FT-IR) (Bomem model MB100) و پودر KBr به عنوان استاندارد، بررسی شد. شکل ۲-الف طیف-IR مربوط به مگنتیت خالص را نشان می‌دهد. باند جذبی در محدوده عدد موج 3399 cm^{-1} است که ناشی از ارتعاشات کششی قوی توسط پیوند هیدروژنی ایجاد شده با گروه‌های هیدروکسیل (OH) است که توسط نمونه از محیط جذب شده است. باند جذبی در محدوده عدد موجی 591 cm^{-1} دیده می‌شود که ناشی از باند ارتعاشی Fe-O موجود در مگنتیت است.

شکل ۲-ب طیف-IR مربوط به نانوذرات اکسید آهن با پوشش نشاسته را نشان می‌دهد. نوار جذب در اطراف طول موج 573 cm^{-1} هم در نانوذرات بدون پوشش و هم در نانوذرات مغناطیسی با پوشش نشاسته مشاهده می‌شود این باند مربوط به ارتعاش کششی Fe_3O_4 می‌باشد. حضور پوشش نشاسته، جذب تشعشع توسط هسته مگنتیت را کاهش داده و بنابراین شدت پیک 572 cm^{-1} در نانوذرات پوشش داده شده با نشاسته نسبت به نانوذرات مگنتیت بدون پوشش ضعیفتر است. از آنجائیکه نشاسته بیشتر از آمیلوز و آمیلوپکین تشکیل شده، سه پیک جدید در نانوذرات مگنتیت با پوشش نشاسته ظاهر شده است. پیک اول در 1153 cm^{-1} که مربوط به ارتعاش پیوند C-O-C از گروه C-O-H بوده و دو پیک دیگر در 1091 cm^{-1} و 1022 cm^{-1} به

ابتدا در پلیت ۹۶ چاهکی تعداد ۱۰۴ سلول در هر چاهک به همراه محیط کشت کامل ریخته شد و شش چاهک حاوی سلول‌های MDA-MB-231 بدون تیمار به عنوان کنترل منفی انتخاب شد. پس از ۲۴ ساعت محیط رویی خارج شد و نانوذرات مغناطیسی اکسید آهن بدون پوشش با غلظت‌های 40 ، 20 ، 10 ، 5 و $3 \mu\text{g}/\text{ml}$ و نانوذرات مغناطیسی اکسید آهن با پوشش نشاسته با غلظت‌های 40 ، 20 ، 10 ، 5 و $3 \mu\text{g}/\text{ml}$ به همراه محیط کشت کامل درون هر چاهک ریخته شد و برای مدت زمان‌های 48 ، 24 و 6 ساعت در شرایط 37°C در یک اتمسفر مرطوب با غلظت 5% CO_2 انکوبه شد. پس از پایان انکوباسیون محیط رویی خارج شد و مقدار 10 ml محلول MTT و 100 ml محیط کشت پایه به هر چاهک اضافه شد. پس از ۴ ساعت انکوباسیون کریستال‌های بنفش رنگ فورمازان ایجاد شد. بعد از گذشت این زمان محلول MTT و محیط کشت پایه تخلیه شد و به منظور حل کردن بلورهای فورمازان به هر چاهک 100 میلی لیتر DMSO (Dimethyl sulfoxide) سپس شدت رنگ، توسط دستگاه الایزرا ریدر (مدل DA3200) در محدوده طول موج $545-630 \text{ nm}$ ثبت شد.

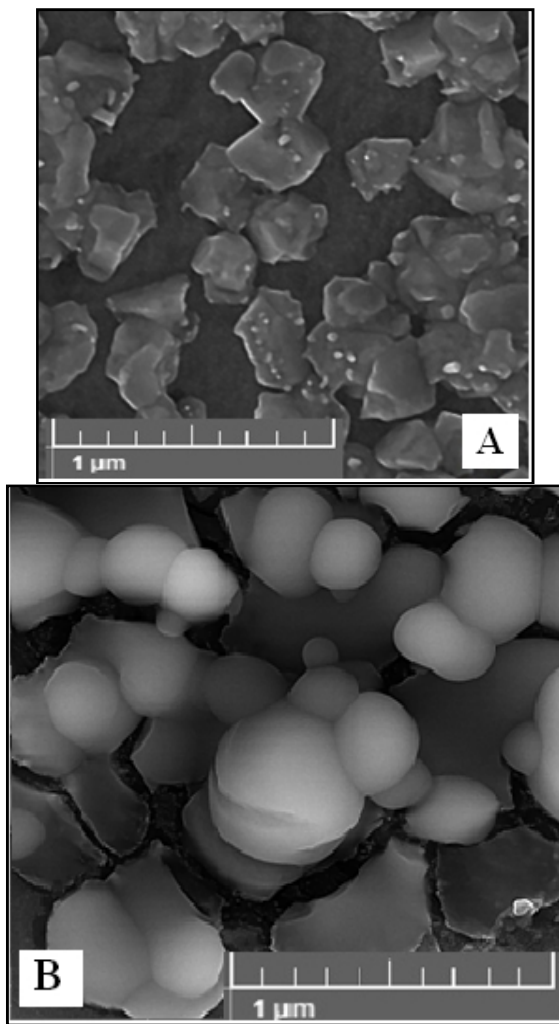
۴- آزمون آماری

داده‌های آماری حاصل توسط نسخه ۲۲ نرم‌افزار SPSS به منظور اندازه‌گیری میانگین 9 بار تکرار و انحراف از معیار در سطح ($P < 0.05$) تجزیه و تحلیل شدند.

۳- نتایج و بحث

۳-۱- تحلیل پراش پتو ایکس

به منظور آنالیز فازی و بررسی اندازه دانه‌ها از پراش پرتوی X استفاده گردید. نتایج نشان‌دهنده آن است که مگنتیت فاز غالب در نمونه است و محاسبات از روی XRD، اندازه تقریبی ذرات را 80 nm نشان می‌دهد (شکل ۱).

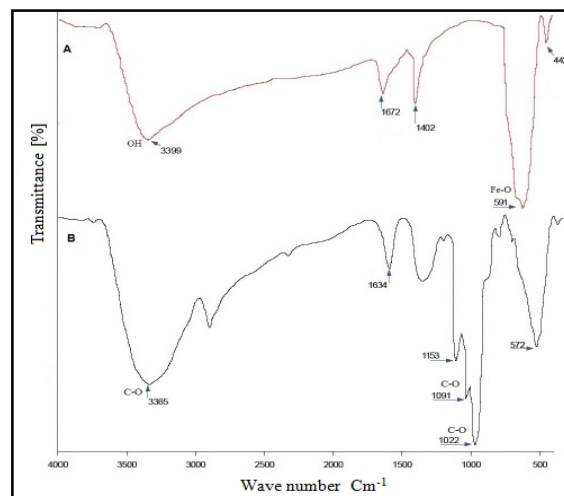


شکل ۳: تصاویر FE-SEM نانوذرات اکسید آهن،
الف) بدون پوشش و ب) با پوشش نشاسته.

زمان‌های مختلف (شکل ۴) نشان داد که در غلظت $30 \mu\text{g}/\text{ml}$ در زمان 24 ساعت 50% سلول‌ها از بین رفته‌اند (شکل ۵). از این‌رو می‌توان نتیجه گرفت IC_{50} نانوذرات اکسید آهن برای رده سلولی MDA-MB-231 غلظت $30 \mu\text{g}/\text{ml}$ می‌باشد.

نتایج حاصل از بررسی اثر سمیت سلولی غلظت‌های مختلف نانوذرات اکسید آهن با پوشش نشاسته بر رده سلولی در زمان‌های مختلف (شکل ۶) نشان داد که در غلظت $180 \mu\text{g}/\text{ml}$ در زمان 24 ساعت 50% سلول‌ها از بین رفته‌اند (شکل ۷). از این‌رو می‌توان نتیجه گرفت IC_{50}

ارتعاش پیوند C-O-C گروه C-O-C در حلقه گلوکز مربوط می‌شود.



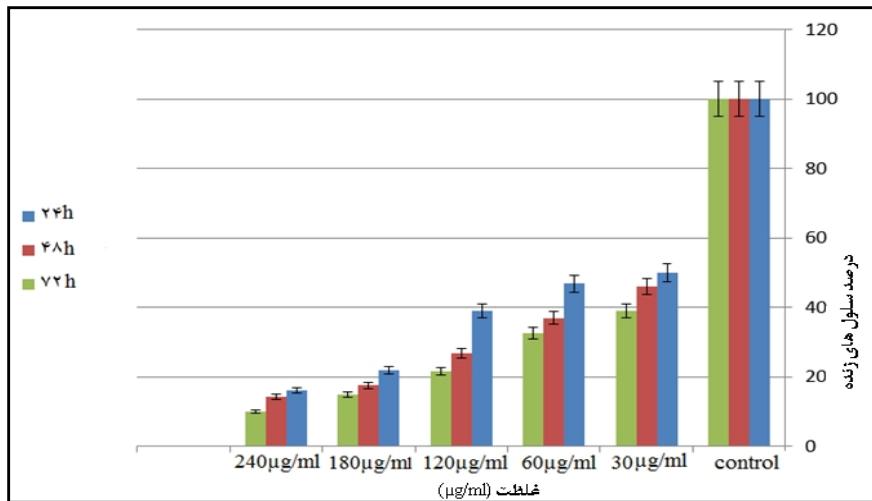
شکل ۲: طیف FT-IR از نانوذرات تهیه شده، الف) Fe_3O_4 بدون پوشش و ب) Fe_3O_4 با پوشش نشاسته.

۳-۳-۳- آنالیز میکروسکوپ الکترونی گسیل میدانی (FE-SEM)

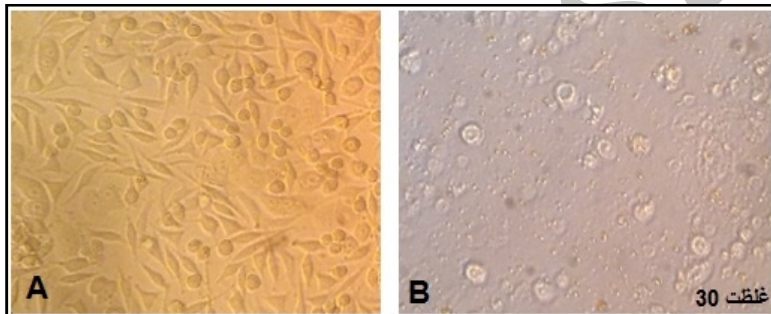
به منظور بررسی مورفولوژی و سایز نانوذرات مغناطیسی آهن بدون پوشش و با پوشش از میکروسکوپ الکترونی گسیل میدانی MIRA3TESCAN-XMU (مدل MIRA3TESCAN-XMU) استفاده شده. شکل ۳-الف، ریزساختار نانوذرات سنتز شده بدون پوشش و شکل ۳-ب ریزساختار نانوذرات سنتز شده با پوشش نشاسته با بزرگنمایی $\times 10000$ را نشان می‌دهد.

۴-۳- نتایج آزمون سمیت سلولی نانوذرات مغناطیسی اکسید آهن بدون پوشش و دارای پوشش نشاسته توسط روش MTT

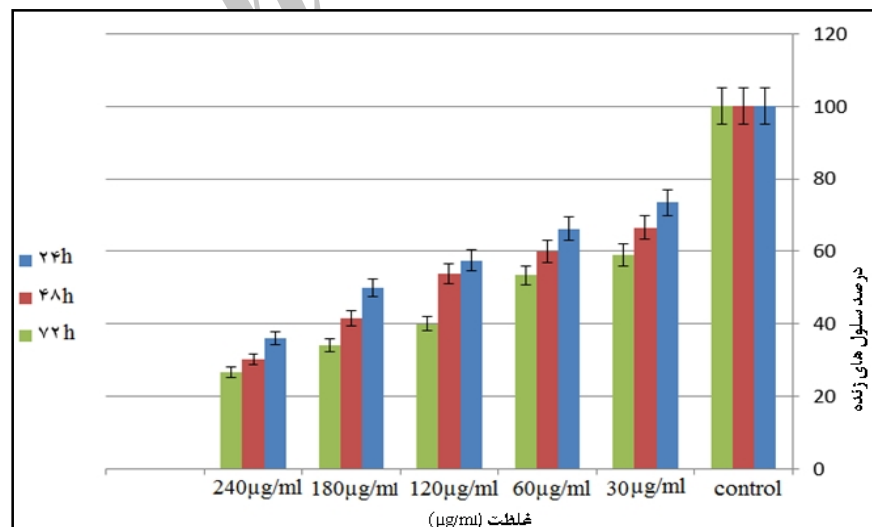
میزان درصد زنده بودن سلول‌های MDA-MB-231 با غلظت‌های مختلف نانوذرات مغناطیسی در نمودار ۱ و ۲ نشان داده شده است. نتایج به صورت میانگین ۹ بار تکرار آزمایش می‌باشد. نتایج حاصل از بررسی اثر سمیت سلولی غلظت‌های مختلف ذرات اکسید آهن بر رده سلولی MDA-MB-231 در



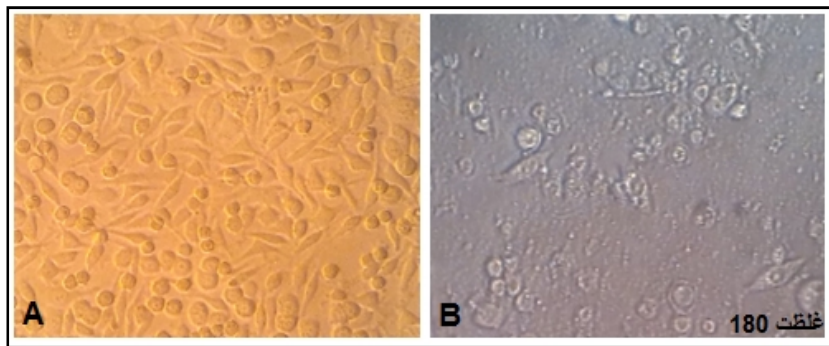
شکل ۴: میانگین کل درصد سلول‌های زنده در غلهٔت‌ها و زمان‌های مختلف نانوذرات اکسید آهن بر رده سلولی MDA-MB-231 (مقادیر به صورت میانگین \pm انحراف از معیار بوده و تفاوت میانگین‌ها در سطح $0/05 < P$ معنی‌دار در نظر گرفته شده است).



شکل ۵: تصاویر میکروسکوپی بعد از گذشت ۴۸ ساعت، (الف) سلول‌های کنترل و (ب) سلول‌های تحت تاثیر نانوذرات مغناطیسی اکسید آهن.



شکل ۶: میانگین کل درصد سلول‌های زنده در غلهٔت‌ها و زمان‌های مختلف نانوذرات اکسید آهن با پوشش نشاسته بر رده سلولی MDA-MB-231 (مقادیر به صورت میانگین \pm انحراف از معیار بوده و تفاوت میانگین‌ها در سطح $0/05 < P$ معنی‌دار در نظر گرفته شده است).



شکل ۷: تصاویر میکروسکوپی بعد از ۴ ساعت، (الف) سلول‌های کنترل و (ب) سلول‌های تحت تأثیر نانوذرات مغناطیسی اکسید آهن با پوشش نشاسته.

نانوذرات از طریق پهنه‌ای بلندترین پیک در فاز ۳۱۱ از طریق Xpert High Score Plus محاسبه شد که با نتایج حاصل از میکروسکوپ الکترونی روبشی مطابقت دارد. از طرفی دیگر، یکی از تکنیک‌های کاربردی جهت بررسی ساختارهای مولکولی نانوذرات، تکنیک FT-IR است. در این زمینه Peter و همکاران در سال ۲۰۱۱، در مطالعه‌ای که بر روی پلی ساکاریدها به عنوان ثبت‌کننده برای سنتز نانوذرات مغناطیسی انجام دادند وجود گروه‌های عاملی FT-IR نشاسته را تایید نمودند [۱۶]. در پژوهش حاضر، طیف FT-IR شکل‌های (۲-الف) و (۲-ب) در نانوذرات بدون پوشش و با پوشش نشاسته نوار جذب در اطراف طول موج 573 cm^{-1} در Fe_3O_4 مشاهده شد که این باند مربوط به ارتعاش کششی O-O می‌باشد. در نتیجه با مقایسه طیف FT-IR شکل‌های (۲-الف) و (۲-ب) می‌توان نتیجه گرفت که برهمکنش مناسبی بین نشاسته و نانوذرات Fe_3O_4 در نانوذرات مغناطیسی زیست‌سازگار شده صورت گرفته است و نشاسته به طور موفقیت‌آمیزی از طریق نیروهای واندروالسی و پیوند هیدروژنی پیرامون نانوذرات Fe_3O_4 پوشش داده شده‌اند. با توجه به اینکه اهمیت نانوذرات در اندازه و مورفولوژی آن است، تصاویر FE-SEM نشان داد، نانوذرات دارای مورفولوژی تقریباً کروی با اندازه تقریبی $80\text{--}100\text{ nm}$ می‌باشند. نانوذرات مغناطیسی رنگ هستند. در حالی که نانوذرات زیست‌سازگار شده با پلیمر نشاسته (شکل ۳-ب)،

MDA-MB-231 نانوذرات آهن با پوشش نشاسته برای رده سلولی MDA-MB-231 غلظت $180\text{ }\mu\text{g/ml}$ می‌باشد. نانوذرات مغناطیسی Fe_3O_4 به علت خواص ویژه مغناطیسی و زیست‌سازگاری در حال حاضر تا حد زیادی مورد توجه محققین قرار گرفته است و به طور گسترده‌ای در زمینه‌های مختلف از جمله رسانش دارو، درمان سرطان به روش هایپرترمیا، فتوکاتالیست‌ها و غیره کاربرد دارند [۱۳]. در میان بیopolymerها، مطالعات بسیاری بر زیست‌سازگار کردن نانوذرات مغناطیسی مغناطیسی با پلیمرهایی مانند کیتوسان، آلزینات، صمع عربی و غیره انجام شده است. اما در این میان، پلیمر نشاسته به دلیل سازگاری زیستی با محیط‌های بیولوژیکی و داشتن گروه‌های عاملی که بتواند برهمکنش‌های الکترواستاتیک با سطح نانوذرات آهن برقرار کند و به صورت یک لایه‌ی پوششی به سطح نانوذرات آهن بچسبد جهت زیست‌سازگاری نانوذرات مغناطیسی مغناطیسی استفاده شد. سپس نانوذرات موردنظر توسط آزمون‌های مربوطه مورد ارزیابی قرار گرفت.

در شکل ۱ الگوهای پراش اشعه ایکس نشان داده شده است، این الگوهای پیک‌های مشخصی را در مقادیر ۲۰ نشان می‌دهند که آنها به ترتیب به فازهای 220 ، 311 ، 400 ، 422 ، 511 و 440 نانوذرات Fe_3O_4 مربوط می‌شود [۱۴، ۱۵]. می‌توان نتیجه

گرفت نانوذرات مغناطیسی Fe_3O_4 به طور موفقیت‌آمیزی در نانوذرات با پوشش نشاسته ساخته شده‌اند. اندازه متوسط

سال ۲۰۱۰، نانوذرات اکسید آهن کروی شکل بدون پوشش و پوشش داده شده با پلی ونیل الکل را مورد بررسی قرار دادند. در این تحقیق هر دو نوع نانوذره (با و بدون پوشش) به صورت اصلاح شده و نشده بر رده سلولی L929، با آزمون MTT ارزیابی شد و میزان زیست پذیری سلول های قرار گرفته در معرض نانوذرات اصلاح شده بیشتر از نوع اصلاح نشده آن گزارش شد. علاوه بر این آثار سمی نانوذرات اکسید آهن در نوع بدون پوشش آن نیز گزارش شده است علت این آثار به دنبال صدماتی است که نانوذرات به DNA وارد کرده اند [۲۰]. بررسی ما با نتایج این پژوهشگران همسو بوده و نشان داده شد که نانوذرات اکسید آهن دارای اثرات سمی به مراتب بیشتر، نسبت به نانوذرات دارای پوشش بود.

در مطالعه Khan و همکاران، اثر سمیت سلولی نانوذرات آهن سنتر شده به روش شیمیابی سل-ژل بر سلول های سرطان ابی تلیالی ریوی IMR-90 مورد ارزیابی قرار گرفته و نتایج نشان داد که نانوذرات اکسید آهن در غلظت های ۱ تا ۱۰۰ میکرو گرم بر میلی لیتر به مدت ۲۴ و ۴۸ ساعت به عنوان عوامل ضد سرطان فعالیت سمیت سلولی چشمگیری بر سلول های ریوی A549 داشته اند [۲۱]. در این مطالعه، نانوذرات اکسید آهن در غلظت ۳۰ Mg/ml دارای سمیت سلولی شدیدی بر رده سلولی سرطانی MDA-MB-231 نشان دادند، در نتیجه پس از درمان بافت هدف، سمیت موضعی بیشتری را بر سلول های سالم اعمال خواهند کرد. در صورتی که نانوذرات اکسید آهن دارای پوشش نشاسته IC₅₀ در غلظت $180 \mu g/ml$ نشان دادند که به علت پوشش زیست سازگار ایجاد شده در سطح نانوذرات، به مراتب اثرات سمیت موضعی کمتری بر سلول های سالم اعمال خواهند کرد.

۴- نتیجه گیری

نانوذرات مگتیت با اندازه تقریبی $80-100 nm$ به روش هم رسوی تهیه شد. نتایج پراش اشعه ایکس حضور فاز مگتیت را نشان داد. همچنین آنالیز FT-IR این ساختار را تایید نمود و ایجاد پوشش نشاسته روی سطح نانوذرات را

علاوه بر داشتن هسته کریستالی مشکی رنگ، دارای پوسته تقریباً خاکستری کمرنگ در اطراف هسته می باشد و شکل کروی تر به خود گرفته اند.

مطالعات نشان داده اند که متابولیسم آهن سبب تخریب سطح نانوذرات مغناطیسی آهن شده و به دنبال آن افزایش غلظت یون آهن و القا استرس اکسیداتیو می شود [۱۷]. بر این اساس به نظر می رسد تزریق دوز بالای این ذرات از طریق استرس اکسیداتیو آسیب های گسترده ای را باعث شود [۱۸].

Nie و همکاران در سال ۲۰۱۳، افزایش میزان مرگ سلول های Hela (سلول سرطانی گردن رحم) را تحت تاثیر نانوذرات مغناطیسی اکسید آهن گزارش کردند. آنها نشان دادند نانوذرات مغناطیسی اکسید آهن لود شده با داروی evodiamine (داروی ضد سرطان) می تواند به طور موثر رشد تومور را در شرایط درون تن و برون تن مهار کند و به همین دلیل کاندید مناسبی برای دستیابی به اثربخشی بهتر در درمان قرار گیرد [۱۹].

به حداقل غلظتی از نانوذرات که باعث مهار رشد 50% از سلول های سرطانی شود IC₅₀ گفته می شود که در این مطالعه برای نانوذرات مغناطیسی اکسید آهن غلظت $30 \mu g/ml$ در نانوذرات اکسید آهن با پوشش نشاسته غلظت $180 \mu g/ml$ در زمان ۲۴ ساعت تعیین گشت. بر اساس نتایج این مطالعه نانوذرات اکسید آهن بدون پوشش با افزایش دوز منجر به کاهش زیست پذیری سلول ها شدند این مطلب نشان دهنده آسیب رسان بودن نانوذرات اکسید آهن می باشد.

تاکنون مطالعات زیادی روی سنتر و ایجاد پوشش نشاسته بر سطح نانوذرات اکسید آهن انجام شده، ولی بررسی زیست سازگاری و سازو کار سلولی این ذرات با پوشش نشاسته و بدون پوشش بر رده سلولی سرطانی انجام نگرفته است، لذا مطالعه حاضر اولین مطالعه در زمینه بررسی تاثیر پوشش نشاسته بر رده سلول های سرطانی سینه MDA-MB-231 می باشد و نتایج بدست آمده با نتایج دیگر قابل مقایسه نیستند، اما مطالعات دیگری در این زمینه انجام گرفتند، از جمله مطالعه Mahmoudi و همکارانش که در

- پلاتین روی سرطان پستان در مطالعات درون تنی و برون تن، مجله تازه‌های بیوتکنولوژی سلولی-مولکولی، شماره ۲۰، ۱۳۹۴، ۲۹-۳۶.
- [4] A. Ito, M. Shinkai, H. Honda, T. Kobayashi, *J. Biosci. Bioeng.*, **100**, 2005, 1.
- [5] T.J. Daou, J.M. Grenache, G. Pourroy, S. Buathong, A. Derory, C. Ulhaq-Bouillet, B. Donnio, D. Guillon, S. Begin-Colin, *Chem. Mater.*, **20**, 2008, 5869.
- [6] M. Mahmoudi, A. Simchi, H. Vali, M. Imani, M.A. Shokrgozar, K. Azadmanesh, F. Azari, *Adv. Eng. Mater.*, **11**, 2009, 243.
- [7] M. Darder, P. Aranda, E. Ruiz-Hitzky, *Advanced Materials*, **19**, 2007, 1309.
- [8] S. Seoyoun, J. Jyongsik, *Chem. Commun.*, **22**, 2007, 4230.
- [9] A.M. Dias, A. Hussain, A.S. Marcos, A.C. Roque, *Biotechnol Adv.*, **29**, 2011, 142.
- [10] T.T. Dung, T.M. Danh, L.T.M. Hoa, D.M. Chien, N.H. Duc, *Experimental Nanoscience*, **4**, 2009, 1.
- [11] T.K. Jain, M.K. Reddy, M.A. Morales, D.L. Leslie-Pelecky, V. Labhasetwar, *Mol. Pharm.*, **5**, 2008, 316.
- [12] H.B. Raju, Y. Hu, A. Vedula, S.R. Dubovy, J.L. Goldberg, *PLOS ONE*, **6**, 2011, 1.
- [13] R.M. Cornell, U. Schwertmann, "The Iron Oxides: Structure, Properties, Reactions, Occurrence and Uses", WILEY-VCH, Weinheim, 1996.
- [14] C. Muthamizhchelvan, R. Ramesh, M. Rajalakshimi, S. Ponnusamy, *MATER IETT*, **70**, 2012, 73.
- [15] R. Bandyopadhyaya, C. Ravikumar, S. Kumar, *Physicochem. Eng. Aspects*, **403**, 2012, 1.
- [16] R.C. Peter, Y. Jiugao, M.A. Xiaofei, P.A. Debbie, *Carbohyd polym.*, **83**, 2011, 640.
- [17] R. Weissleder, D.D. Stark, B.L. Engelstad, B.R. Bacon, C.C. Compton, D.L. White, P. Jacobs, J. Lewis, *AJR Am J Roentgenol.*, **152**, 1989, 167.
- [18] M.I. Khan, A. Mohammad, G. Patil, S.A. Naqvi, L.K. Chauhan, I. Ahmad, *Biomaterials*, **33**, 2012, 1.
- [19] G. Nie, X.U. Li, Y. Lv, G. Ding, J. Zhai, Y. Guo, *Colloids and Surfaces B: Biointerfaces*, **110**, 2013, 411.
- [20] M. Mahmoudi, A. Simchi, M. Imani, M.A. Shokrgozar, A.S. Milani, U.O. Hafeli, P. Stroeve, *Colloids Surf. B Biointerfaces*, **75**, 2010, 300.
- [21] M. Mahmoudi, H. Hofman, B. Rothen-Rutishauser, A. Petri-Fink, *Chem. Rev.*, **112**, 2012, 2323.

اثبات کرد. همچنین تصاویر FE-SEM مؤید این موضوع می‌باشد که ذرات دارای مورفولوژی تقریباً کروی هستند. بررسی‌های سلولی نشان داد که نانوذرات مغناطیسی اکسید آهن در غلظت $30 \mu\text{g}/\text{ml}$ و نانوذرات زیست‌سازگار شده با پوشش نشاسته در غلظت $180 \mu\text{g}/\text{ml}$ در زمان ۲۴ ساعت باعث مرگ ۵۰٪ از سلول‌های رده سلولی MDA-MB-231 شدنند. از آنجاییکه نانوذرات مغناطیسی آهن باعث سمیت موضعی در بدن می‌شوند لذا وجود پوشش زیست‌سازگار نشاسته از سمیت آنها کاسته در نتیجه برای اثربخشی بهتر در درمان به روی نظریهای پرترمیا، می‌توانند به مقدار بیشتری به بدن وارد شوند. بنابراین می‌توان نتیجه گیری کرد که نانوذرات مغناطیسی اکسید آهن با پوشش نشاسته ممکن است اثر قابل توجهی در درمان سرطان سینه داشته باشد. برای چنین نتیجه گیری انجام آزمایش‌های تکمیلی به صورت درون تن (in vivo) مورد نیاز می‌باشد.

مراجع

- [1] K. Armstrong, A. Eisen, B. Weber, *N. Engl J.*, **342**, 2000, 564.
- [2] N. Soleimani, A. Mohabati-mobarez, *Qom Univ. Med. Sci. J.*, **11**, 2017, 1.
- [۳] عظیم اکبر زاده خیاوی، ژیلا حسینیان، رحیمه رسولی، امین آذرنوش، مهری مرتضوی، "ارزیابی کارایی نانوذرات مغناطیسی آهن لود شده با سیس